

УДК 532.59+591.112.3

ВОЛНОВЫЕ ДВИЖЕНИЯ ЖИДКОСТИ  
В ТРУБКАХ ИЗ ВЯЗКОУПРУГОГО МАТЕРИАЛА.  
СТАЦИОНАРНЫЕ НЕЛИНЕЙНЫЕ ВОЛНЫ

И. М. РУТКЕВИЧ

(Москва)

Установившиеся течения крови по малым сосудам могут терять устойчивость в условиях реализации падающего участка на кривой зависимости давления от радиуса. Имеются эксперименты, подтверждающие существование такого участка [¹]. В процессах раскачек возмущений важную роль играют вязкоупругие свойства стенок кровеносных сосудов, зафиксированные в опытах [²] и предсказанные реологическими моделями мышечной ткани (см., например, [³]). Линейный анализ устойчивости течений в сосудах с S- и N-образными статическими характеристиками дан в [⁴].

Результатом развития неустойчивости в нелинейных системах может быть образование стационарных волн конечной амплитуды. Такие движения исследуются ниже в безынерционном гидравлическом приближении. Для замыкания гидравлического описания привлечены модельные нелинейные уравнения, связывающие конечные нестационарные возмущения давления и деформации.

Для сосудов S-типа изучен класс ограниченных решений, содержащий периодические волны и солитоны. В случае N-образной характеристики определены условия существования периодических решений; дано описание периодических волн в гармоническом приближении. Обнаружено, что длины ограниченных стационарных волн в сосудах обоих типов соответствуют области линейной неустойчивости.

1. Пусть на установившееся течение несжимаемой вязкой жидкости в длинной осесимметричной трубке с податливой стенкой наложены нестационарные возмущения. В предположении о применимости безынерционного гидравлического приближения в работе [⁴] было получено уравнение, связывающее возмущения радиальной деформации трубы  $\delta(x, t)$  и среднего по сечению давления  $\delta p(x, t)$

$$(1.1) \quad \left( \frac{\partial}{\partial t} + 2u_* \frac{\partial}{\partial x} \right) \delta \varepsilon = \frac{R_*^3}{16\mu R_0} \frac{\partial^2}{\partial x^2} \delta p$$

$$(\varepsilon = R/R_0 - 1, \delta \varepsilon = \varepsilon - \varepsilon_*, \delta p = p - p_*)$$

Звездочкой будем отмечать параметры невозмущенного потока. Здесь  $p_*$  и  $u_* \geq 0$  — средние по сечению давление и скорость соответственно,  $R_*$  — радиус трубы,  $R_0$  — значение радиуса, при котором в стенке отсутствуют внутренние напряжения.

В [⁴] уравнение (1.1) выведено из линеаризованного уравнения движения в проекции на ось  $x$  и уравнения неразрывности. При этом пре-небрегалось градиентами невозмущенных величин (за исключением  $dp_*/dx$ ), что допустимо при рассмотрении возмущений, пространственный масштаб которых мал по сравнению с длиной изменения невозмущенных параметров. Это условие позволяет также считать коэффициенты уравнения (1.1) постоянными.

В безынерционном приближении уравнение движения имеет вид

$$uF = -(8\pi\mu)^{-1} F^2 \partial p / \partial x, F = \pi R^2$$

Линеаризованная форма этого уравнения используется при выводе соотношения (1.1). Последнее можно использовать в нелинейном анализе, если  $\delta(F^2) \ll F_*^2$ , т. е. при условии

$$(1.2) \quad |\delta\epsilon| \ll 1/(1+\epsilon_*)$$

Кроме (1.1), имеется еще одно соотношение между величинами  $\delta p$  и  $\delta\epsilon$ , которое следует из реологического закона поведения тонкой несжимаемой стенки и уравнения баланса радиальных сил, действующих на элемент стенки. Если внешнее давление  $p_e$  постоянно, а для вязкоупругого материала стенки принимается нелинейное обобщение модели Пойнтинга, то, как показано в [4], «реологическая» связь между  $p$  и  $\epsilon$  будет иметь вид

$$(1.3) \quad \partial p / \partial t + \varphi(p, \epsilon) = H(p, \epsilon) \partial \epsilon / \partial t$$

$$(1.4) \quad H(p, \epsilon) > 0$$

Статическая характеристика на плоскости  $\epsilon p$  определяется из уравнения  $\varphi=0$ . Функция  $H(p, \epsilon)$  имеет смысл высокочастотного упругого модуля и должна удовлетворять условию (1.4), обеспечивающему эволюционность модели [4].

Для конечных отклонений параметров от их значений в установившемся состоянии из (1.3) получим

$$(1.5) \quad (\partial / \partial t) \delta p + \varphi(p_* + \delta p, \epsilon_* + \delta\epsilon) = H(p_* + \delta p, \epsilon_* + \delta\epsilon) (\partial / \partial t) \delta\epsilon$$

Для случаев, когда уравнение  $\varphi=0$  определяет однозначную зависимость  $\epsilon(p)$  или  $p(\epsilon)$ , соответственно запишем

$$(1.6) \quad \varphi(p_* + \delta p, \epsilon_* + \delta\epsilon) = C(p_*, \epsilon_*; \delta p, \delta\epsilon) [\delta\epsilon - \Phi(\delta p)]$$

$$(1.7) \quad \varphi(p_* + \delta p, \epsilon_* + \delta\epsilon) = D(p_*, \epsilon_*; \delta p, \delta\epsilon) [\Psi(\delta\epsilon) - \delta p]$$

Представления (1.6), (1.7) справедливы, если  $\varphi(p, \epsilon)$  — регулярная функция своих аргументов. Тогда  $C$ ,  $\Phi$ ,  $D$  и  $\Psi$  регулярным образом зависят от возмущений  $\delta p$ ,  $\delta\epsilon$ . Параметры  $p_*$ ,  $\epsilon_*$  войдут также в функции  $\Phi$  и  $\Psi$ . Естественно предположить, что статическая характеристика является нулевым многообразием простой кратности для функции  $\varphi(p, \epsilon)$  (в противном случае материал стенок должен обнаруживать нелинейное поведение при бесконечно малых отклонениях от произвольного состояния равновесия). Тогда функции  $C$  и  $D$  будут сохранять знак при любых возмущениях  $\delta p$ ,  $\delta\epsilon$ .

Пусть точка  $(\epsilon_*, p_*)$  лежит на падающем участке статической характеристики. При качественном исследовании  $S$ - и  $N$ -образную формы характеристик можно описать полиномами третьей степени, что соответствует удержанию членов третьего порядка в разложениях функций  $\Phi(\delta p)$  и  $\Psi(\delta\epsilon)$  в степенные ряды. Примем следующую аппроксимацию:

$$(1.8) \quad \Phi(\delta p) = G^{-1} \delta p (1 - \delta p / \delta p^-) (1 - \delta p / \delta p^+)$$

$$\Psi(\delta\epsilon) = G \delta\epsilon (1 - \delta\epsilon / \delta\epsilon^-) (1 - \delta\epsilon / \delta\epsilon^+)$$

$$(1.9) \quad p_i < p_* < p_2, |\delta p| \leq p_{\max} - p_i = p_2 - p_{\min}$$

$$(1.10) \quad \epsilon_1 < \epsilon_* < \epsilon_2, |\delta\epsilon| \leq \epsilon_{\max} - \epsilon_1 = \epsilon_2 - \epsilon_{\min}$$

Здесь  $\delta p^- = p^- - p_* < 0$ ,  $\delta p^+ = p^+ - p_* > 0$  — значения возмущений давления, соответствующие положениям равновесия на возрастающих участках  $S$ -образной характеристики при фиксированной деформации  $\epsilon = \epsilon_*$ . Величины  $\delta\epsilon^- = \epsilon^- - \epsilon_* < 0$ ,  $\delta\epsilon^+ = \epsilon^+ - \epsilon_* > 0$  имеют аналогичный смысл для  $N$ -образной характеристики в случае фиксированного давления. Обозначения

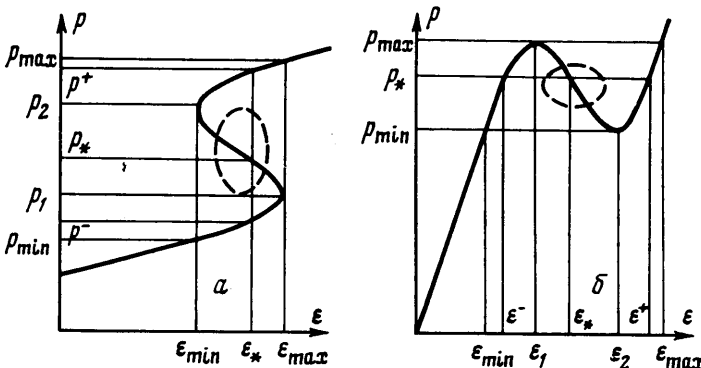
характерных точек на кривых  $S$ - и  $N$ -типа приведены на фиг. 1, а и б соответственно. В (1.8) величина  $G=dp_*/d\epsilon_* < 0$  имеет смысл статического дифференциального модуля упругости в точке  $(\epsilon_*, p_*)$ .

Неравенства (1.9) и (1.10) задают области, в которых будут использованы входящие в (1.8) функции  $\Phi$  и  $\Psi$  соответственно.

Для совместимости второго неравенства (1.10) с (1.2) достаточно ввести ограничение на ширину  $N$ -образного участка

$$\epsilon_{\max} - \epsilon_{\min} \ll 1/(1+\epsilon_*)$$

В системе  $S$ -типа условие (1.2) также приводит к ограничениям, вид которых устанавливается при анализе конкретных волновых движений.



Фиг. 1

Будем считать возмущения  $\delta p$  и  $\delta \epsilon$  достаточно малыми для того, чтобы принять

$$(1.11) \quad \begin{aligned} C(p_*, \epsilon_*; \delta p, \delta \epsilon) &\approx C(p_*, \epsilon_*; 0, 0) = C_* \\ D(p_*, \epsilon_*; \delta p, \delta \epsilon) &\approx D(p_*, \epsilon_*; 0, 0) = D_* \\ H(p_* + \delta p, \epsilon_* + \delta \epsilon) &\approx H(p_*, \epsilon_*) = H_* \end{aligned}$$

Хотя модельный характер допущений (1.11) очевиден, они оправданы при качественном исследовании ввиду знакопостоянства функций  $C$ ,  $D$  и  $H$ . С другой стороны, учет нелинейных членов в (1.8) имеет принципиальное значение для описания развития неустойчивостей и распространения стационарных волн.

Используя соотношения (1.6)–(1.8) и (1.11), придем к следующим двум вариантам уравнения (1.5):

$$(1.12) \quad [(1-\delta p/\delta p^-)(1-\delta p/\delta p^+) - \lambda \partial/\partial t] \delta p = G(1+\theta \partial/\partial t) \delta \epsilon$$

$$(1-\lambda \partial/\partial t) \delta p = G[(1-\delta \epsilon/\delta \epsilon^-)(1-\delta \epsilon/\delta \epsilon^+) + \theta \partial/\partial t] \delta \epsilon$$

$$(1.13) \quad \lambda = G/C_*, \theta = -H_*/C_*; \lambda = 1/D_*, \theta = -H_*/(GD_*)$$

Первое уравнение (1.12) и первая пара формул (1.13) относятся к модели  $S$ -типа, остальные соотношения – к модели  $N$ -типа.

Поскольку  $\lambda/\theta = -G/H_* > 0$ , величины  $\lambda$  и  $\theta$  должны иметь одинаковый знак. В дальнейшем будем считать, что  $\lambda > 0$ ,  $\theta > 0$  для модели  $S$ -типа и  $\lambda < 0$ ,  $\theta < 0$  для модели  $N$ -типа.

Эти условия приняты по следующим соображениям. Неустойчивость состояний, описываемых падающими участками, должна проявляться при фиксированной деформации в сосудах  $S$ -типа и при фиксированном давле-

нии в сосудах  $N$ -типа. Иной выбор знаков привел бы к неадекватному описанию реальных систем.

Поведение возмущений в трубках с  $S$  и  $N$ -образными характеристиками описывается системами, состоящими из (1.1) и соответствующего уравнения (1.12). Исключая из первой системы возмущение  $\delta\epsilon$ , а из второй величину  $\delta p$ , получим нелинейные уравнения третьего порядка

$$(1.14) \quad \begin{aligned} & \left( \frac{\partial}{\partial t} + 2u_* \frac{\partial}{\partial x} \right) \left[ \delta p \left( 1 - \frac{\delta p}{\delta p^-} \right) \left( 1 - \frac{\delta p}{\delta p^+} \right) - \lambda \frac{\partial}{\partial t} \delta p \right] + \\ & + \eta \left( 1 + \theta \frac{\partial}{\partial t} \right) \frac{\partial^2}{\partial x^2} \delta p = 0 \quad (\lambda > 0, \theta > 0) \\ & \left( \frac{\partial}{\partial t} + 2u_* \frac{\partial}{\partial x} \right) \left( 1 - \lambda \frac{\partial}{\partial t} \right) \delta \epsilon + \eta \frac{\partial^2}{\partial x^2} \left[ \delta \epsilon \left( 1 - \frac{\delta \epsilon}{\delta \epsilon^-} \right) \left( 1 - \frac{\delta \epsilon}{\delta \epsilon^+} \right) + \right. \\ & \left. + \theta \frac{\partial}{\partial t} \delta \epsilon \right] = 0 \quad (\lambda < 0, \theta < 0), \quad \eta = -GR_*^3/(16\mu R_0) > 0 \end{aligned}$$

Первое уравнение (1.14) относится к модели  $S$ -типа, второе — к модели  $N$ -типа. Если

$$|\delta p| \ll \min(\delta p^+, |\delta p^-|), |\delta \epsilon| \ll \min(\delta \epsilon^+, |\delta \epsilon^-|)$$

то от (1.14) можно перейти к линеаризованным уравнениям, данным в [4].

Сформулированные нелинейные уравнения могут быть использованы для анализа процессов, развивающихся при потере устойчивости.

2. Будем искать решение первого уравнения (1.14) в виде стационарных волн

$$(2.1) \quad \delta p = f(x - Vt) = f(z), \quad V = \text{const}$$

Дифференциальное уравнение для функции  $f$  после однократного интегрирования приводится к виду

$$(2.2) \quad \begin{aligned} & -\eta\theta V f'' + (\eta + 2\lambda u_* V - \lambda V^2) f' + (2u_* - V) P(f) = \text{const} \\ & P(f) = f(1 - f/f_-)(1 - f/f_+), \quad f_\mp = \delta p^\mp \end{aligned}$$

Рассматривая семейство решений, содержащее нулевое возмущение, положим константу в правой части (2.2) равной нулю. Тогда после умножения уравнения на  $f'$  получим

$$(2.3) \quad \begin{aligned} & [-\frac{1}{2}\eta\theta V f'^2 + (2u_* - V) Q(f)]' + (\eta + 2\lambda u_* V - \lambda V^2) f'^2 = 0 \\ & Q(f) = \int_0^f P(f) df = \frac{f^4}{4f_- f_+} - \frac{f^3}{3} \left( \frac{1}{f_-} + \frac{1}{f_+} \right) + \frac{f^2}{2} \end{aligned}$$

Для того чтобы решение уравнения (2.3) было периодическим или принимало одинаковые значения при  $z \rightarrow \pm\infty$ , коэффициент при  $f'^2$  должен равняться нулю. Поэтому периодические волны должны распространяться со скоростями

$$(2.4) \quad V = V_{1,2} = u_* \mp \sqrt{c_s^2 + u_*^2}, \quad c_s = \sqrt{\eta/\lambda}$$

Величины  $V_{1,2}$  совпадают со скоростями консервативных волн бесконечно малой амплитуды в трубках  $S$ -типа [4].

Интегрируя уравнение (2.3) с учетом (2.4), получим

$$(2.5) \quad \frac{1}{2} m f'^2 + Q(f) = E = \text{const}, \quad m = \eta\theta V / (V - 2u_*), \quad V = V_{1,2}$$

Легко усмотреть формальную аналогию уравнения (2.5) с законом сохранения энергии при одномерном движении частицы массы  $m$  в поле с потенциалом  $Q(f)$ . При этом константа  $E$  имеет смысл полной энергии. Функция  $Q(f)$  имеет минимум ( $Q=0$ ) при  $f=0$  и два максимума ( $Q=-Q_{\pm}$ ) при  $f=f_{\pm}$ . Финитное движение возможно только внутри «потенциальной ямы», т. е. при условии

$$(2.6) \quad 0 \leq E \leq \min(Q_-, Q_+)$$

Рассмотрим сначала случай  $f_+ + f_- > 0$ , соответствующий положению точек  $(\varepsilon_*, p_*)$  ниже центра симметрии  $S$ -образного участка (фиг. 1, а). Тогда будет  $Q_- < Q_+$ . При выполнении (2.6) уравнение  $Q(f) = E$  имеет четыре вещественных корня, два из которых расположены на отрезке  $[f_-, f_m]$ , где  $f_m$  — наименьший положительный корень уравнения  $Q(f) = Q_-$

$$f_m = \frac{1}{3} [2f_+ - f_- + \sqrt{2(2f_+ - f_-)(f_+ + f_-)}]$$

Пусть  $f_i = f_i(f_+, f_-, E)$  — корни уравнения  $Q(f) = E$ , пронумерованные в порядке возрастания. При  $0 < E \leq Q_-$  имеют место неравенства

$$f_1 \leq f_- \leq f_2 < 0 < f_3 \leq f_m < f_+ < f_4$$

Ограниченнные интегралы уравнения (2.5) изменяются на отрезке  $[f_2, f_3]$  и представимы в виде

$$(2.7) \quad f(z) = f_4 + (f_3 - f_4) [1 - a \operatorname{sn}^2(\rho(z - z_0); q)]^{-1}$$

$$a = \frac{f_3 - f_2}{f_4 - f_2}, \quad q = \sqrt{\frac{(f_3 - f_2)(f_4 - f_1)}{(f_4 - f_2)(f_3 - f_1)}}, \quad \rho = \sqrt{\frac{(f_4 - f_2)(f_3 - f_1)}{-8mf_+ f_-}}$$

Константу интегрирования  $z_0$  без ограничения общности примем равной нулю. Величина  $q$  — модуль эллиптической функции Якоби  $\operatorname{sn} \rho z$ . Решение (2.7) описывает периодические волны, длины которых выражаются формулами

$$(2.8) \quad l_{1,2} = 2K(q)/\rho_{1,2}$$

Здесь  $K(q)$  — полный эллиптический интеграл первого рода,  $\rho_{1,2}$  — значения  $\rho$  при  $V = V_1$  и  $V = V_2$  соответственно. Если принять для амплитуды волны  $A_f$  определение  $2A_f = \max f - \min f$ , получим  $A_f = \frac{1}{2}(f_3 - f_2)$ .

Длина волн и их амплитуда — возрастающие функции параметра  $E$ . При  $E \rightarrow 0$  будет  $A_f \rightarrow 0$ ,  $l_{1,2} \rightarrow l_{1,2}^0$ , и распределения (2.7) близки к линейным консервативным волнам [<sup>4</sup>]

$$f(z) \approx A_f \cos(2\pi z/l_{1,2}^0)$$

$$l_{1,2}^0 = 2\pi \sqrt{\eta \theta (\sqrt{M_s^2 + 1} \mp M_s)}, \quad M_s = u_* / c_s$$

Максимум амплитуды достигается, когда  $E \rightarrow Q_-$ . При этом  $q \rightarrow 1$ ,  $\operatorname{sn} \rightarrow \operatorname{th}$ ,  $l_{1,2} \rightarrow \infty$ ,  $2A_f \rightarrow f_m - f_-$  и (2.7) переходит в распределение, описывающее уединенные волны (солитоны)

$$(2.9) \quad f = f_4^+ + (f_m - f_4^+) (1 - a_+ \operatorname{th}^2 \rho_+ z)^{-1}$$

$$f_4^+ = \frac{1}{3} [2f_+ - f_- + \sqrt{2(2f_+ - f_-)(f_+ + f_-)}]$$

$$a_+ = (f_m - f_-)/(f_4^+ - f_-), \quad \rho_+ = \frac{1}{2} \sqrt{(1 - f_-/f_+)/m}$$

В периодических волнах (2.7) гребни ( $f \approx f_3$ ) являются более узкими, чем впадины ( $f \approx f_2$ ). Это различие усиливается с ростом амплитуды. Для уединенных волн (2.9) будет  $f \rightarrow f_-$  при  $z \rightarrow \pm\infty$ . Ширина  $\Delta$  солитонного

горба по порядку величины равна

$$(2.10) \quad \Delta \approx 4\sqrt{\eta\theta}(\sqrt{M_s^2+1} \mp M_s) \operatorname{Arth}[(2-a_+)^{-1/2}] (1-f_-/f_+)^{-1/2}$$

для уединенных волн, распространяющихся со скоростями  $V_1$  и  $V_2$  соответственно. Таким образом, рост «числа Маха»  $M_s$  приводит к сжатию горбов в волнах, бегущих вверх по потоку, и к расплыванию — при распространении вниз по потоку.

Можно показать, что  $\langle f \rangle < 0$ , где  $\langle f \rangle$  — среднее за период значение распределения (2.7), поэтому периодические нелинейные волны приводят к уменьшению постоянной составляющей давления.

На фазовой плоскости  $ff'$  при  $V=V_{1,2}$  одно из положений равновесия  $(0,0)$  является центром, два других,  $(f_-, 0)$  и  $(f_+, 0)$  — седлами. Расположение интегральных кривых схематически показано на фиг. 2. Замкнутая сепаратриса, проходящая через точки  $(f_-, 0)$  и  $(f_m, 0)$ , соответствует солитону.

Случай  $f_+ + f_- < 0$ , отвечающий расположению точки  $(\varepsilon_*, p_*)$  выше центра симметрии  $S$ -образного участка, заменой  $f \rightarrow -f$  сводится к рассмотренному выше. Поведение решений описывается формулами (2.7) — (2.10), если произвести в них (и в выражении для  $f_m$ ) замену:  $f \rightarrow -f$ ,  $f_\mp \rightarrow -f_\mp$ ,  $f_{1,2,3,4} \rightarrow -f_{4,3,2,1}$ .

Величины  $f_{1,2,3,4}$  — расположенные в порядке убывания корни уравнения  $Q(f) = -E$  при  $0 < E \leq Q_+$  и  $f_+ + f_- < 0$ . В этом случае впадины волн будут более узкими, чем гребни, и величина  $\langle f \rangle > 0$ . Солитоны становятся «перевернутыми»:  $f(0) = -f_m < 0$ ,  $f(\pm\infty) = f_+ > 0$ .

При  $f_+ + f_- = 0$  гребни и впадины волн приобретают одинаковую форму, а зависимость (2.7) можно привести к виду

$$f = f_3 \operatorname{sn}(K(q_0) - \rho_0 z; q_0), \quad q_0 = f_3/f_4, \quad \rho_0 = 2\rho/(1+q_0)$$

В этом случае  $\langle f \rangle = 0$ . Периодические решения при  $f_+ + f_- = 0$  изображаются на фазовой плоскости симметричными относительно координатных осей замкнутыми кривыми, заполняющими линзообразную область. Граница области — замкнутая кривая с изломами в седловых точках. В отличие от асимметричного случая верхняя и нижняя части сепаратрисы не реализуются в одном решении и отвечают двум независимым ударным волнам шириной  $\Delta_1$

$$f = \pm f_+ \operatorname{th} \rho_+ z, \quad \Delta_1 \approx 2\sqrt{2\eta\theta}(\sqrt{M_s^2+1} \mp M_s)$$

Распределение деформации в рассмотренных волнах имеет вид

$$(2.11) \quad \delta\varepsilon(z) = \eta G^{-1}(V - 2u_*)^{-1} f'(z)$$

Из (2.11) следует, что траектории, которые описывает изображающая точка  $(\varepsilon_* + \delta\varepsilon, p_* + \delta p)$  за период волны на плоскости  $\varepsilon p$ , получаются аффинным преобразованием замкнутых интегральных кривых на фазовой плоскости  $ff'$ . На фиг. 1, а пунктиром показана типичная траектория для симметричного случая  $f_+ + f_- = 0$ .

Среди множества ограниченных решений наибольшее значение  $|\delta\varepsilon|$  достигается при  $f_+ + f_- = 0$  для ударных волн давления в их центре, являющимся вершиной деформационного солитона. После простых вычислений найдем

$$\max |\delta\varepsilon| = (27/32)^{1/2} (\lambda/\theta)^{1/2} (\varepsilon_{\max} - \varepsilon_{m1n})$$

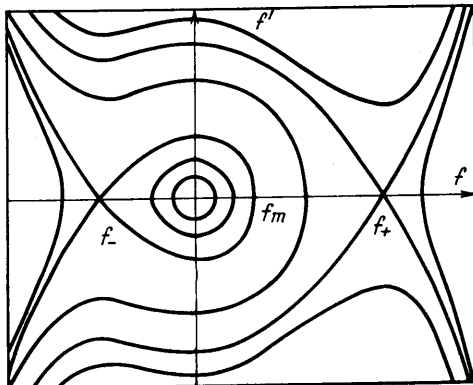
Значения  $\varepsilon_{\max}$ ,  $\varepsilon_{m1n}$  показаны на фиг. 1, а. Следовательно, условие (1.2) будет выполнено для всех рассмотренных движений, если ширина  $S$ -образного участка удовлетворяет требованию

$$\varepsilon_{\max} - \varepsilon_{m1n} \ll (2/27)^{1/2} (\theta/\lambda)^{1/2} (1 + \varepsilon_*)$$

Как следует из (2.8), диапазон длин волн, в котором возможны нелинейные периодические движения, совпадает с областью линейной неустойчивости [4]. Это позволяет предположить существование класса малых начальных возмущений, в процессе роста которых формируются распределения (2.7), (2.9). Отметим, что образование в сосудах  $S$ -типа пе-

риодических волн только в надкритической области ( $l_i > l_i^0$ ) и монотонное стремление их амплитуды к нулю при  $l_i \rightarrow l_i^0$  характерно для неустойчивых систем с мягким возбуждением.

3. Рассмотрим стационарные волны в трубке с  $N$ -образной характеристикой. Полагая



Фиг. 2

$$(3.1) \quad \delta\varepsilon = g(x - Vt) \equiv g(z),$$

$$V = \text{const}$$

из второго уравнения (1.14) после однократного интегрирования получим

$$(3.2) \quad g'' + T(g)g' + k^2g = \text{const}$$

$$\begin{aligned} T(g) = & -(\alpha + \beta g + \\ & + \gamma g^2)/(\theta V), \quad \alpha = 1 - \\ & - V(2u_* - V)/c_n^2, \quad \beta = \\ & = -2(g_+ + g_-)/(g - g_+), \\ & \gamma = 3/(g - g_+), \quad g_{\mp} = \delta\varepsilon^{\mp} \\ & c_n = (-\eta/\lambda)^{1/2}, \\ & k^2 = -(2u_* - V)/(\eta\theta V) \end{aligned}$$

Константу в правой части уравнения (3.2) положим равной нулю (по тем же соображениям, что и в уравнении (2.2)). Тогда, умножая обе части (3.2) на  $g$ , получим

$$(3.3) \quad \left( gg' + \int gT(g)dg \right)' - g'^2 + k^2g^2 = 0$$

Для того чтобы уравнение (3.3) имело периодическое решение, необходимо

$$\int_z^{z+l} (k^2g^2 - g'^2) dz = 0$$

Здесь  $l$  — длина волны. Следовательно, должно быть  $k^2 > 0$ , т. е.  $0 < V < 2u_*$ .

Умножая уравнение (3.2) на  $g'$  и интегрируя по интервалу длины  $l$ , приходим к соотношению

$$(3.4) \quad \int_z^{z+l} Tg'^2 dz = 0$$

Отсюда видно, что для существования периодического решения необходима смена знака функции  $T(g)$ , поэтому  $\beta^2 - 4\alpha\gamma > 0$ .

Для того чтобы периодическое решение являлось устойчивым во времени предельным циклом на фазовой плоскости  $gg'$ , должно быть  $\alpha > 0$ . Тогда предыдущее неравенство выполняется автоматически, так как  $\gamma < 0$ . (При  $\alpha < 0$  с ростом времени движение вдоль интегральных кривых в окрестности начала координат плоскости  $gg'$  происходило бы по направлению к особой точке  $(0, 0)$ , так как  $V > 0$ .)

Неравенства  $0 < V < 2u_*$ ,  $\alpha > 0$  вместе с условием  $\gamma < 0$  обеспечивают существование предельного цикла на фазовой плоскости. Это утверждение доказывается с помощью теоремы Бендиクсона (см., например, [5]). Со-

вместное решение этих неравенств имеет вид

$$(3.5) \quad \begin{aligned} 0 < V < 2u_* & \quad (M_n < 1) \\ 0 < V < V_1, \quad V_2 < V < 2u_* & \quad (M_n \geq 1) \\ M_n = u_* / c_n, \quad V_{1,2} = u_* \mp \sqrt{u_*^2 - c_n^2} \end{aligned}$$

Величины  $V_{1,2}$  совпадают со скоростями линейных консервативных волн в системе  $N$ -типа [4]. Периодические решения уравнения (3.2) с нулевой правой частью удовлетворяют условию  $\langle g \rangle = 0$ .

Переходя к новым переменным  $(\xi, h)$ , приведем уравнение (3.2) к виду

$$(3.6) \quad \begin{aligned} h'' + s(1 + bh - h^2)h' + h = 0 \\ \xi = kz, \quad h = (-\gamma / \alpha)^{1/2}g, \quad s = (\lambda / \theta)^{1/2}(r^{-1} - r) \\ r = 2M_n \kappa / (1 + \kappa^2), \quad b = (\beta / \alpha)(-\alpha / \gamma)^{1/2}, \quad \kappa = (-\eta \theta)^{1/2}k \end{aligned}$$

Здесь штрихами обозначены производные по  $\xi$ . При  $b=0$  уравнение (3.6) переходит в уравнение Ван-дер-Поля. Если параметр  $s$  достаточно мал, периодическое решение уравнения (3.6) можно искать в виде ряда

$$h = h_0 \sin \xi + \sum_{n=1}^{\infty} s^n h_n(\xi)$$

Подставляя нулевое приближение в интегральное соотношение (3.4), найдем  $h_0^2 = 4$ . Поэтому для волны деформации в гармоническом приближении получим

$$(3.7) \quad \begin{aligned} g / g_{\max} &\approx A_g \sin [2\pi l^{-1}(x - Vt)] \\ g_{\max} &= 2\sqrt{-1/s g_{-}}, \quad A_g = \sqrt{1 - 4M_n^2 \kappa^2 (1 + \kappa^2)^{-2}} \\ l &= 2\pi \sqrt{-\eta \theta} / \kappa, \quad V = 2u_* / (1 + \kappa^2) \end{aligned}$$

Нелинейные эффекты в этом распределении проявляются в зависимости относительной амплитуды  $A_g$  от длины волны. В соответствии с (3.5) безразмерное волновое число  $\kappa$  в формулах (3.7) изменяется в следующих пределах:

$$(3.8) \quad \begin{aligned} 0 < |\kappa| < \infty & \quad (M_n < 1) \\ 0 < |\kappa| < \kappa_1, \quad \kappa_1 < |\kappa| < \infty & \quad (M_n \geq 1) \\ \kappa_{1,2} = M_n \pm \sqrt{M_n^2 - 1} \end{aligned}$$

Из (3.8) следует, что длины стационарных волн лежат в линейно-неустойчивом диапазоне [4]. В системе  $N$ -типа периодическое возмущение всегда распространяется вниз по потоку, а его скорость зависит от длины волны (в отличие от случая  $S$ -образной характеристики, для которого скорость волн в соответствии с (2.4) определяется только параметрами невозмущенного потока).

На фиг. 1, б пунктиром показана характерная траектория волнового процесса на плоскости  $v p$ . При  $s \geq 1$  представление (3.7) несправедливо и существует ангармонизм волн. Из (3.9), (3.7) следует, что условие  $s \geq 1$  эквивалентно неравенству

$$A_g \geq A_0 = (\sqrt{v^2 + 4v} - v)^{1/2} / \sqrt{2}, \quad v = \theta / \lambda$$

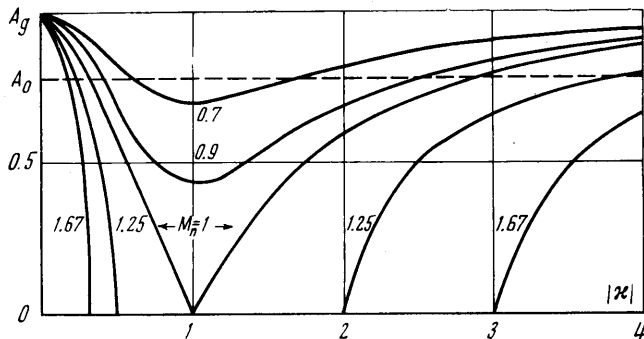
На фиг. 3 показаны зависимости  $A_g(|\chi|)$  при различных  $M_n$ . Кривая, соответствующая значению  $M_n=1$ , разделяет области «жесткой» ( $M_n < 1$ ) и «мягкой» ( $M_n > 1$ ) неустойчивости. Гармоническое приближение неприменимо в полосе  $A_0 < A_g < 1$ . Величина  $A_0$  на фигуре выбрана при  $\nu=1$ .

В качестве примера ангармонического поведения рассмотрим случай  $\chi=0$ . Тогда  $V=2u_*$  и уравнение (3.2) имеет ограниченное точное решение вида

$$(3.9) \quad |1-g_-/g|^{-\chi} |1-g_+/g|^{-1+\chi} = \exp[z/(2u_*\theta)]$$

$$\chi = (1-g_-/g_+)^{-1}$$

Формула (3.9) описывает две независимые ударные волны, распространяющиеся в режиме фиксированного давления ( $b_r=0$ ). В каждой из



Фиг. 3

них осуществляется переход от неустойчивого состояния перед волной ( $g \rightarrow 0$  при  $z \rightarrow \infty$ ) к одному из устойчивых состояний за волной ( $g \rightarrow g_-$  или  $g \rightarrow g_+$  при  $z \rightarrow -\infty$ ).

4. Полученные выше результаты в принципе допускают экспериментальную проверку. Временной период и амплитуда стационарной волны могут быть определены из осциллограммы давления  $p(t)$ , полученной для некоторого сечения кровеносного сосуда. Если, кроме того, будет измерена скорость волны, то по известным характеристикам невозмущенного потока и данным динамического эксперимента станет возможной оценка характерных времен  $\lambda$  и  $\theta$ . Такая оценка может представить самостоятельный интерес в связи с исследованиями релаксационного спектра стенок малых сосудов.

Для сосудов  $S$ -типа выражение для периода  $\tau$  нелинейных колебаний устанавливается из (2.4), (2.7), (2.8) и при  $f_+ + f_- > 0$  имеет вид

$$(4.1) \quad \tau = \tau_0 (2\sqrt{2}/\pi) K(q) [-(f_+ - f_-)(f_3 - f_1)/(f_+ + f_-)]^{-1/2}$$

$$\tau_0 = 2\pi \sqrt{\lambda \theta}$$

Здесь  $\tau_0$  — период колебаний в консервативной линейной волне; величина  $q$  определена в (2.7). При заданном значении константы  $E$  (см. формулу (2.5)) величина  $q$  одинакова для волн, распространяющихся вверх и вниз по потоку.

Известное расположение точки  $(\epsilon_*, p_*)$  на статической характеристике и найденная экспериментально величина  $f_3 = \max p(t) - p_*$  позволят определить константу  $E = Q(f_3)$  и рассчитать остальные корни уравнения  $Q(f) = E$ . Тогда по полученному из осциллограммы периоду колебаний  $\tau$  из (4.1) можно найти  $\tau_0$ .

В симметричном случае ( $f_+ + f_- = 0$ ) формула (4.1) упрощается и определяет явную зависимость периода от относительной амплитуды  $A$

$$(4.2) \quad \tau/\tau_0 = (2\sqrt{2}/\pi) (A + \sqrt{2 - A^2})^{-1} K(q_A)$$

$$q_A = 2A^{1/2} (2 - A^2)^{1/4} (A + \sqrt{2 - A^2})^{-1}, \quad A = f_3/f_+$$

По измеренной скорости волны, движущейся в определенную сторону, и известной скорости потока из выражений (2.4) находится «скорость звука»  $c_s$  и, следовательно, величина  $\lambda$ . Тогда время ретардации  $\theta$  определяется из второй формулы (4.1). Заметим, что путем измерения скоростей волн, распространяющихся в разные стороны, из (2.4) можно найти скорость потока  $u_*$ .

Для волн давления в сосудах  $N$ -типа в гармоническом приближении из (1.1) и (3.7) получим

$$(4.3) \quad \delta p = A_p \cos [2\pi l^{-1}(x - Vt)], \quad A_p = G g_{\max} \sqrt{-\theta/\eta} u_* [2\pi/(1+\kappa^2)] A_g$$

Из (4.3) и (3.7) следуют формулы:

$$\theta = -(2u_* V - V^2)\tau^2 / (4\pi^2\eta)$$

$$(4.4) \quad \lambda = \{1 - (A_p\tau)^2 [2\pi\theta g_{\max} G]^{-2}\} \tau^2 / (4\pi^2\theta)$$

Величины  $\tau$  и  $A_p$  определяются по осциллограмме. Если из эксперимента известна также скорость волны, то, зная параметры невозмущенного потока, по формулам (4.4) можно оценить реологические константы  $\lambda$  и  $\theta$ .

Автор признателен С. А. Региреру за внимание к работе и полезные замечания по рукописи статьи, а также А. А. Бармину и А. Г. Куликовскому за обсуждение основных результатов.

Поступила 16 XII 1974

#### ЛИТЕРАТУРА

1. Johnson P. C. Autoregulatory responses of cat mesenteric arterioles, measured in vivo. *Circulat. Res.*, 1968, vol. 22, No. 2.
2. Гидродинамика кровообращения. М., «Мир», 1971.
3. Усик П. И. Континуальная механохимическая модель мышечной ткани. ПММ, 1973, т. 37, вып. 3.
4. Регирер С. А., Руткевич И. М. Волновые движения жидкости в трубках из вязкоупругого материала. Волны малой амплитуды. Изв. АН СССР, МЖГ, 1975, № 1.
5. Трикоми Ф. Дифференциальные уравнения. М., Изд-во иностр. лит., 1962.